دراسة الخصائص البنيوية والميكانيكية وسرعة وتردد الأمواج فوق الصوتية المتولدة x=(0.0,1.0) عند النسب $Co_xNi_{1-x}Fe_2O_4$ عند النسب

د. كمال محمود عفيصه*

د. محمد ياسين صبيح **

شوكت شاهين شاهين ***

(تاريخ الإيداع 9 / 3 / 2020. قُبِل للنشر في 7 / 9 /2020)

□ ملخّص □

يتضمن هذا البحث تحضير مُركب الانضغاط المغناطيسي ${\rm Co_xNi_{1-x}Fe_2O_4}$ عند النسب ${\rm (0.0, 1.0)}$ \times بالطريقة السينية CXRD عند درجة حرارة تلبيد ${\rm Co_xNi_{1-x}Fe_2O_4}$. دُرست بعض خصائصه البنيوية بتقنية انعراج الأشعة السينية CXRD والميكانيكية بتقنية تحويل فُوربيه للأشعة تحت الحمراء ${\rm FT-IR}$. وذلك بهدف تحديد سرعة وتردد الأمواج التي يمكن توليدها باستخدام المُركب المُحضر.

تُظهر النتائج تَشكُل بنية السبينيل المكعب المميز للغرايت، وأن متوسط أبعاد الحبيبة من مرتبة الـ nm. كما لاحظنا عند النسبة x=1.0 زيادة في قيم كل من متوسط أبعاد الحبيبة وثابت الشبكة البلورية، وبالمقابل نقصان قيم كل من الكثافة، ومعامل يونغ للمُركب.

تُبين النتائج أيضاً أن تردد الأمواج فوق الصوتية التي يمكن توليدها يقع ضمن المجالين kHz والـ kHz أما الأمواج فوق الصوتية المتولدة من فرايت النيكل $NiFe_2O_4$ لها سرعة وتردد أعلى مقارنة مع الأمواج فوق الصوتية المتولدة من فرايت الكوبالت $CoFe_2O_4$.

الكلمات المفتاحية: الأمواج فوق الصوتية، محول الانضغاط المغناطيسي، خصائص بنيوية وميكانيكية، فرايت CoNi مواد الانضغاط المغناطيسي.

أستاذ مساعد - قسم الفيزياء، كلية العلوم، جامعة تشربن، اللاذقية، سورية.

^{*} أستاذ مساعد - قسم النظم والشبكات الحاسوبية، كلية الهندسة المعلوماتية، جامعة تشربن، اللاذقية، سوربة.

^{* &}quot; طالب دراسات عليا (دكتوراه) - قسم الفيزياء - اختصاص إلكترونيات - كلية العلوم، جامعة تشرين، اللاذقية، سورية.

A Study on Structural, Mechanical, Speed and Frequency Properties of the Ultrasonic Generated by the Compression Component $Co_xNi_{1-x}Fe_2O_4$ at ratios x=(0.0,1.0)

Dr. Kamal Mahmoud Ofeisa* Dr. Mohammad Yassin sobeih** Schauket Schahin Schahin***

(Received 9 / 3 / 2020. Accepted 7 / 9 /2020)

\square ABSTRACT \square

This research includes prepare magnetostrictive compound $Co_xNi_{1-x}Fe_2O_4$ at ratio x=(0.0, 1.0) by ceramic method at 1200 °C sintering temperature. studied some of structural properties by X-ray diffraction technique, and mechanical properties by Fourier-transform infrared FT-IR technique. This is to determine the speed and frequency of ultrasonic waves that's can be generated using the prepared compound.

The results show formation the cubic spinel structure of ferrite, and values of Average crystallite size at nm. We observed at ratio x = 1.0 increase in values of Average crystallite size, lattice parameter, and decrease in values of density, and Young's coefficient.

The results also showed the frequency of ultrasonic generated at the kHz and MHz ranges, the speed and frequency of the ultrasonic waves generated by $NiFe_2O_4$ are higher than the speed and frequency of the cobalt Ferrite $CoFe_2O_4$.

Keywords: Ultrasonic Waves, Magnetostrictive Transducer, Structural and Mechanical Properties of CoNi-Ferrite, Magnetostrictive Materials.

_

^{*} Associate Professor - Department of Physics, Faculty of Science, Tishreen University, Lattakia, Syria. ** Associate Professor - Department of computer Systems and Networks, Faculty of Informatics Engineering, Tishreen University, Lattakia, Syria.

^{***} Postgraduate Student (PhD) – Department of Physics - Electronics Specialization - Faculty of Science, Tishreen University, Lattakia, Syria.

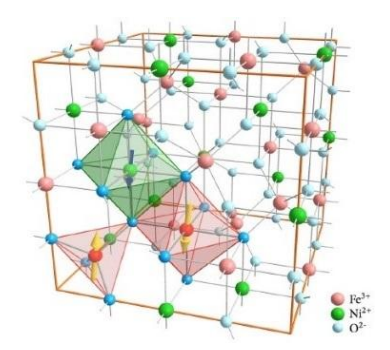
مقدمة:

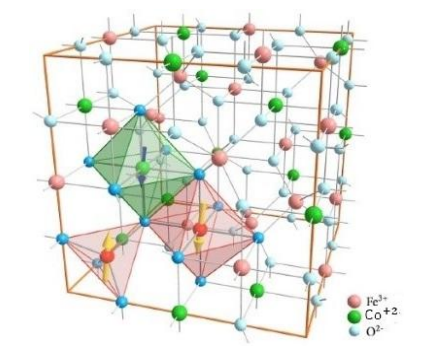
تطورت مواد الانضغاط المغناطيسي magnetostrictive materials في السنوات الأخيرة بشكل ملحوظ، ولاقت اهتمام العديد من الباحثين، مثل العناصر الأرضية النادرة rare earth materials]، والمواد حديدية المغنطة ferromagnetic [2]، والمواد الفريمغناطيسية ferrimagnetic كفرايت الكوبالت—النيكل Co-Ni ferrite. تتغير ابعاد هذه المواد تحت تأثير حقل مغناطيسي خارجي، حيث تُعرف هذه الظاهرة بـ magnetostriction [3]، وتمتاز بقدرتها على تحويل الطاقة المغناطيسية إلى طاقة ميكانيكية "تأثير جول Joule effect"، وبالعكس الطاقة الميكانيكية إلى طاقة مغناطيسية "تأثير فيلاري Villari effect [4]، واستخدمت في العديد من التطبيقات وبشكل واسع في محول الانضغاط المغناطيسي الفوق صوتى magnetostrictive ultrasonic transducers لتوليد الأمواج فوق الصوتية [5]. تطورت تقنيات توليد الأمواج فوق الصوتية، والمواد المستخدمة لتوليدها، وطرق تحديد سرعة وتردد هذه الأمواج على عدة مراحل. الأمواج المتولدة بسبب تأثير جول هي أمواج عرضية transverse، والأمواج المتولدة بسبب تأثير فيدمان Wiedemann effects هي أمواج طولية longitudinal، أما الألية الرئيسية لتوليد موجة مرنة elastic wave في الفرايت هو تأثير فيدمان [6]، عند زيادة تركيز فرايت Co-Zn في البولمير polymer المركب composite ينخفض تردد الرنين Co-Zn في البولمير وتزداد قيمة كل من معامل يونغ Young's modulus، وسرعة الامواج فوق الصوتية المتولدة [7]. يمتاز محول الانضغاط المغناطيسي الفوق صوتي المُركب من مزيج فرايت Mn-Zn ذي بنية السبنيل spinel structure، ومسحوق بلورات غرانيت الحديد والإيتربوم yttrium، بأن الطاقة الضائعة بسبب تيارات فوكو Foucault currents منخفضة، أما الوسائط الديناميكية للانضغاط المغناطيسي تكون عالية، والقوة القسرية coercitive منخفضة [8]، عند استخدام مواد حديدية المغنطة يمكن توليد الأمواج فوق الصوتية بترددات تتراوح من 20kHz إلى 2MHz، وتم توضيح المبادئ الفيزيائية لتوليد وكشف الأمواج فوق الصوتية باستخدام محولات الطاقة المغناطيسية إلى الطاقة الميكانيكية [9]. تم تطوير نهج جديد من محولات الانضغاط المغناطيسي الفوق صوتي لتوليد الأمواج فوق الصوتية باستخدام Terfenol-D بتردد 20KHz، تم استنتاج معادلات التردد بطريقة مصفوفة الإرسال transmission matrix، في حين تم التحقق من صحة المطابقة من خلال الاستجابة المشروطة والتوافقية modal and harmonic response بطريقة العناصر المحددة finite element method (FEM) باستخدام برنامج ANSYS [10]. تم وضع مبادئ حساب كل من معاملات المرونة المغناطيسية magnetoelastic coefficients، ومعامل الانضغاط المغناطيسي لفرايت الكوبالت CoFe2O4، وفرايت النيكل NiFe2O4، باستخدام نظرية الكفاءة الوظيفية density functional theory. بدراسة ديناميكية تغير أبعاد فرايت الكوبالت المُحضّر بالطريقة السيراميكية، عند درجة حرارة تلبيد ℃900، تَبينَ أن للمركب أهمية في العديد من التطبيقات مثل الحساسات sensors، والسونار sonar [12]. تُبين دراسة الخصائص الكهربائية وخصائص الانضغاط المغناطيسي للمركب CoFe2O4 المُحضر بالطريقة السيراميكية، عند درجة حرارة تلبيد 1623K sintered لمدة 6h، أن المقاومة الكهربائية ومعامل الانضغاط المغناطيسي عالية نسبيا، وله أهمية في العديد من التطبيقات مثل محولات الطاقة transducers، وأنها مادة مثالية لمكونات الاهتزاز في محولات الأمواج فوق الصوتية عالية التردد [13]. تُظهر دراسة الخصائص البنيوية والمغناطيسية للمركب Ni-Co ferrite المُحضر بالطريقة السيراميكية عند درجة حرارة تلبيد 1350°C أن منحنى البطاء المغناطيسي Hysteresis curve ضيق، أي الطاقة الضائعة منخفضة، وبمكن استخدام هذا المركب في تطبيقات الترددات العالية، وكمحولات طاقة مغناطيسية إلى ميكانيكية وبالعكس [14].

إذاً يُعتبر فرايت Co-Ni من أهم مواد الانضغاط المغناطيسي، ويمتاز بخصائص بنيوية، مغناطيسية [15]، كهربائية، وميكانيكية جيدة ، وهذه الخصائص تتعلق بطريقة التحضير، ودرجة حرارة التلبيد [16].

تعد بنية السبنيل المكعب أبسط بنية للفرايت، فيها نوعان من المواقع المتداخلة هي المواقع الرباعية divalent ions ، والمواقع الثمانية distribution حيث تتوزع octahedral sites B أيونات الحديد ثلاثية التكافؤ trivalent ions والأيونات ثنائية التكافؤ trivalent ions بين الموقعين [17].

عند النسب (0.0, 1.0) عندئذٍ الأيونات (0.0, 1.0) هو من نوع الغرايت المعكوس x= (0.0, 1.0) عندئذٍ الأيونات $^{+}$ لأيونات (0.0, 1.0) هو من نوع الغرايت الموقعين B ،A تتوزع بالتساوي بين الموقعين B ،A تتوزع بالتساوي بين الموقعين $^{+}$ الموقعين B ،A كما هو مبين في الشكل (1) [19]، ويأخذ توزع الأيونات الصيغة $^{+}$ $^{+}$ $^{-}$





 $x{=}0.0$ يمثل خلية الوحدة لفرايت النيكل حيث (b)

(a): يمثل خلية الوحدة لفرايت الكوبالت حيث x=1.0

الشكل (1): يبين خلية الوحدة unit cell نفرايت CoNi ذي بنية السبنيل المكعب، والمواقع الرباعية والثمانية السطوح.

يبين الجدول (1) توزع الأيونات على المواقع الرباعية والثمانية.

الجدول (1): توزع الأيونات بين المواقع الرباعية والثمانية.

X	composition	A-site	B-site
0.0	$NiFe_2O_4$	[Fe ⁺³]	$[\mathrm{Ni}^{+2}\mathrm{Fe}^{+3}]$
1.0	$CoFe_2O_4$	[Fe ⁺³]	$[\mathrm{Co^{+2}Fe^{+3}}]$

مشكلة البحث:

من أكثر الصعوبات التي تواجه الباحثين في مجال توليد الأمواج فوق الصوتية بطريقة محول الانضغاط المغناطيسي والتي تنعكس سلباً على أداء المحول هي تشكل التيارات الدوامة، وضياع الطاقة بسبب عرض مساحة دورة البطاء المغناطيسي، واستخدام تيارات عالية لتوليد الحقول المغناطيسية اللازمة لتحقيق أفضل انتظام للعزوم المغناطيسية الجزيئية بجهة الحقل، والذي يصاحبه ارتفاع في درجة حرارة المادة المستخدمة في قلب المحول. لذلك توجه الباحثون لتطوير مواد وطرق جديدة تساهم في التخلص أو التقليل من الصعوبات السابقة.

للمساهمة في حل بعض هذه المشكلات قمنا بتسليط الضوء على سرعة وتردد الأمواج فوق الصوتية التي يمكن توليدها باستخدام المُركب ${\rm Co_xNi_{1-x}Fe_2O_4}$ لان المقاومة الكهربائية النوعية للمُركب المستخدم عالية تقدر بحدود مما يمنع تشكل التيارات الدوامة فيها، نفاذيته المغناطيسية Permeability عالية، ومنحني البطاء المغناطيسي hysteresis loop ضيق أي الطاقة الضائعة منخفضة، ويحافظ على هذه المواصفات لدرجات حرارة عالية نظراً لامتلاكه

درجة حرارة كوري T_c مرتفعة [20-12]. لذلك طرحنا السؤال التالي: عند استخدام المُركب T_c في توليد الأمواج فوق الصوتية ماهي سرعة وتردد الأمواج التي يمكن الحصول عليها؟ وكيف يمكن تحديدها؟

أهمية البحث وأهدافه:

يهدف البحث إلى تحضير مُركب الانضغاط المغناطيسي ${\rm Co_xNi_{1-x}Fe_2O_4}$ عند النسب (0.0, 1.0) عند السيراميكية عند درجة حرارة تلبيد ${\rm Co_xNi_{1-x}Fe_2O_4}$ ودراسة بعض خصائصه البنيوية والميكانيكية بتقنية انعراج الأشعة السينية XRD وتحويل فُورييه للأشعة تحت الحمراء ${\rm FT-IR}$ انتمكن بذلك من تحديد سرعة وتردد الأمواج التي يمكن توليدها والتحقق من أنها تقع ضمن مجال الأمواج فوق الصوتية. تكمن أهمية البحث بأنه يسلط الضوء على سرعة وتردد الأمواج فوق الصوتية الموكب ${\rm Co_xNi_{1-x}Fe_2O_4}$ وبالطريقة الفيزيائية المتبعة في تحديدها، وباعتبار المركب المُحصِّر مادة مغناطيسية ذكية بإمكانه تبادل التأثيرات المغناطيسية والميكانيكية مع الوسط المحيط من خلال التأثير عليه بمؤثر مغناطيسي أو ميكانيكي، مع إمكانية التحكم بخصائصه من خلال ضبط شروط التحضير، ويمكن استخدمه في تحسين مولدات الأمواج فوق الصوتية المغناطيسية.

يُعد إجراء مثل هذه البحوث ذو أهمية في العديد من المجالات العلمية والبحثية والصناعية، وخاصة في المجال الطبي لان مجال الترددات المتولدة تستخدم في التشخيص، المعالجة، والجراحة [21].

طرائق البحث ومواده:

دراستنا هذه اعتمدت على عدد من المراحل وهي تحضير العينات بالطريقة السيراميكية، ودراسة الخصائص البنيوية بتقنية انعراج الأشعة السينية XRD لتأكد من تشكل البنية البلورية المطلوبة وتعيين قيم الكثافة، ثم دراسة الخصائص الميكانيكية بتقنية تحويل فورية للأشعة تحت الحمراء FT-IR لتعين قيم معامل يونغ. بالاعتماد على قيم الكثافة ومعامل يونغ تم تحديد سرعة وتردد الأمواج فوق الصوتية التي يمكن توليدها.

1- تحضير العينات:

تم تحضير العينات بالطريقة السيراميكية باستخدام مواد أولية عالية النقاء من ${\rm Co}_3{\rm O}_4$ NiO ${\rm Fe}_2{\rm O}_3$ وفق الصيغة ${\rm X}$ ${\rm Co}_{\rm X}{\rm Ni}_{1-{\rm X}}{\rm Fe}_2{\rm O}_4$ ${\rm Co}_{\rm X}{\rm Ni}_{1-{\rm X}}{\rm Fe}_2{\rm O}_3$ ${\rm Co}_{\rm X}{\rm Ni}_1{\rm Co}_3$ ${\rm Co}_{\rm X}{\rm N$

تكاثف الذرات وتشكل الحبيبات السيراميكية وتلاصقها، وتشكل البنية البلورية المطلوبة. تم إجراء تحليل XRD للعينات في المعهد العالي للعلوم التطبيقية والتكنولوجيا بدمشق، أما تحليل FT-IR تم باستخدام مقياس Jasco نوع Jasco في المعهد العالي للعلوم التطبيقية والتكنولوجيا بدمشق، أما تحليل (400-400) الموجود في المخبر المركزي بكلية العلوم – جامعة تشرين، تم تحليل النتائج باستخدام البرامج التالية: origin8 ، Xpowder ، Match!3 والعمليات الحسابية باستخدام برنامج 2016 في مخبر البحث العلمي في الإلكترونيات – قسم الفيزياء – جامعة تشرين. يبين الشكل (2) الأجهزة والأدوات المستخدمة في البحث.



2- دراسة الخصائص البنيوية للمركب CoxNi_{1-x}Fe₂O₄ بتقنية انعراج الأشعة السينية XRD.

تُعتبر تقنية انعراج الأشعة السينية أحد الأساليب الأكثر استخداما لدراسة الخصائص البنيوية للمواد، تم تحليل أنماط حيود الأشعة السينية للعينات باستخدام XPowder12 ،Match!3. تُمكننا هذه البرامج من رسم تغيرات الشدة بالتلاقية Width at half maximum بتابعية الزاوية 26، وتعطي معلومات دقيقة عن عرض القمة عند منتصف الشدة من أجل كل قمة (FWHM)، والمسافة بين المستويات البلورية (البعد البلوري) d، والزاوية 26 لكل قمة [22].

من علاقة شير Scherrer التالية [15]: Δ Average crystallite size D التالية [15]: $D = \frac{k\lambda}{\beta\cos\theta}$ (1)

تمثل λ طول موجة الأشعة السينية المستخدم λ = 1.540598Å عرض القمة عند منتصف الشدة، λ مثل λ عمثل عامل الشكل الهندسي shape factor، حيث أن λ عمثل عامل الشكل الهندسي

تم حساب ثابت الشبكة البلورية lattice parameter a تم حساب ثابت الشبكة البلورية $d=\frac{a}{\sqrt{h^2+k^2+l^2}}$

حيث أن d تمثل البعد البلوري.

تم حساب الكثافة ρ باستخدام العلاقة [22،18]:

$$\rho = \frac{z.M}{V_{cell}.N_A} \tag{3}$$

حيث أن عدد الذرات في وحدة الخلية z=8، وتمثل M الوزن المولى للمركب molecular weight، أما N_A تمثل عدد آفوكادرو من الذرات $V_{cell}=a^3$ عدم الخلية ، $N_A=6.0225\times 10^{23}$ atom/mole عدد آفوكادرو من الأرات

FT-IR باستخدام تقنية $Co_xNi_{1-x}Fe_2O_4$ باستخدام تقنية -3

تم تحليل المركب بتقنية الأشعة تحت الحمراء FT-IR عند درجة حرارة الغرفة، باستخدام مقياس Jasco من النوع -FT المعبر المجال cm^{-1} المحبر المجال IR-460 PLUS)، والذي يعطى البيانات اللازمة لرسم المنحنى البياني المعبر عن تغيرات الامتصاصية (%)Transmittance T بتابعية العدد الموجى Wave number، وبالتالي الحصول على معلومات دقيقة عن العدد الموجى لاهتزاز المواقع رباعية السطوح $v_{tet}(cm^{-1})$ وثمانية السطوح $v_{oct}(cm^{-1})$. دُرست الخصائص الميكانيكية كما يلى [22،16]:

تم حساب ثابت القوة Force constant للموقع رباعي السطوح $K_{tet}(N.m^{-1})$ ، وثماني السطوح والقيمة الوسطية لثابت قوة الشبكة $(N.m^{-1})$ ، باستخدام العلاقات التالية: $K_{ota}(N.m^{-1})$

$$K_{tet} = 7.62 \times M_A \times \nu_{tet} \times 10^{-7} \tag{4}$$

$$K_{oct} = 7.62 \times (M_R/2) \times \nu_{oct} \times 10^{-7}$$
 (5)

$$K_{oct} = 7.62 \times (M_B/2) \times \nu_{oct} \times 10^{-7}$$

$$K_{av} = \frac{K_{tet} + K_{oct}}{2}$$
(6)

حبث أن:

 $g.mol^{-1}$ الوزن الجزيئي للأيونات في المواقع رباعية السطوح واحدتها: M_A

 $g.mol^{-1}$ الوزن الجزيئي للأيونات في المواقع ثمانية السطوح واحدتها M_B

تم حساب ثابت الصلابة (stiffness constant C11(pa باستخدام العلاقة:

$$C_{11} = \frac{K_{av}}{2} \tag{7}$$

حيث أن a تمثل ثابت الشبكة البلورية واحدتها Å.

تم حساب معامل الانضغاط الحجمي (bulk modulus B(Pa باستخدام العلاقة:

$$B = \frac{1}{2}(C_{11} + 2C_{12}) \tag{8}$$

 $B=C_{11}$ وبالتالي $C_{11}pprox C_{12}$ في فرايت Co-Ni ذي بنية السبنيل فإن $C_{11}pprox C_{12}$ وبالتالي Co-Ni

تم تحديد سرعة الموجة المرنة الطولية ($V_l(m.s^{-1})$ ، وسرعة الموجة المرنة العرضية ($V_t(m.s^{-1})$ ، باستخدام العلاقات التالية:

$$V_l = \left[\frac{c_{11}}{\rho}\right]^{1/2} \tag{9}$$

$$V_t = \frac{V_l}{\sqrt{3}} \tag{10}$$

 $g.cm^{-3}$ واحدتها ρ مثل الكثافة واحدتها

تم حساب سرعة الموجة المرنة $V_m(m.\,s^{-1})$ elastic wave velocity وباستخدام العلاقة التالية:

$$V_m = \left[\frac{V_t^3 V_l^3}{V_t^3 + 2V_l^3} \right]^{1/3} \tag{11}$$

تم حساب معامل الصلابة (Rigidity modulus G(Pa) باستخدام العلاقة التالية:

$$G = \rho \times V_t^2 \tag{12}$$

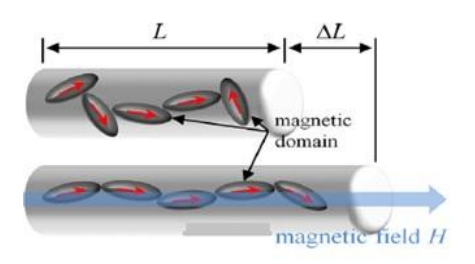
تم حساب نسبة بواسون Poisson's ratio P باستخدام العلاقة:

$$P = \frac{(3B - 2G)}{(6B + 2G)} \tag{13}$$

نم حساب معامل يونغ Young's modulus E(Pa) باستخدام العلاقة: E=(1+P)2G

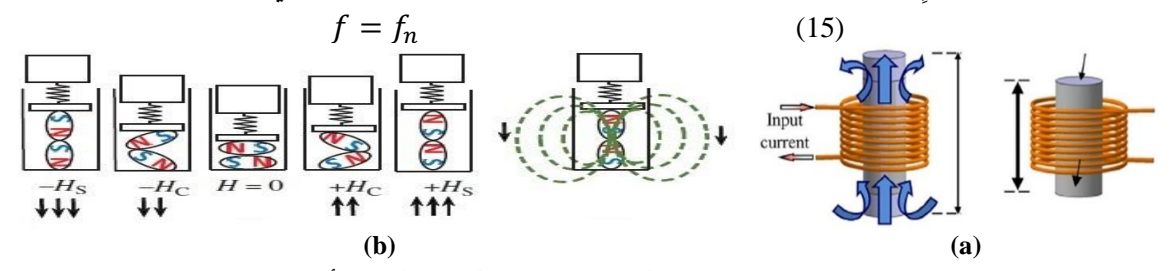
4- توليد الأمواج فوق الصوتية بطريقة محول الانضغاط المغناطيسي الفوق صوتى:

اكتشفت ظاهرة تغير ابعاد مواد الانضغاط المغناطيسي من قبل James Prescott Joule، حيث لاحظ أن حبيبات James Prescott Joule هذه المواد والتي تحتوي العديد من المجالات المغناطيسية magnetic domains الصغيرة الموجهة عشوائيا، تدور وتنتظم بجهة الحقل، مُحدثاً إجهاداً داخلياً internal strain، يرافقه تشوه ميكانيكي mechanical deformation، وتغير طفيف في طولها بالمقدار ΔL [23] كما هو مبين في الشكل (3) [9].



الشكل (3): تأثير انتظام العزوم المغناطيسية الجزيئية على أبعاد المادة.

أما عند تطبيق حقل مغناطيسي متغير ناتج عن تيار متناوب AC كما هو مبين في الشكل (a-4) [9]، فإنها تهتز كما هو مبين في الشكل (a-4) [24]، ولكن بشروط وهي أن تكون شدة الحقل المطبق تتناسب مع بارامترات دورة البطاء المغناطيسي لتحقيق أفضل انتظام للعزوم المغناطيسية الجزيئية بجهة الحقل، وأن يكون تردد الحقل المطبق من دارة الهزاز الإلكترونية a مساو لتردد التجاوب a للمركب ذي خصائص الانضغاط المغناطيسي [25].



الشكل (4): إحدى طرق تطبيق الحقل المغناطيسي، وحركة العزوم المغناطيسية الجزيئية تحت تأثير حقل مغناطيسي خارجي متغير.

إذا كان تردد التجاوب للمركب المحضر أكبر من 20kH، يمكن عندئذ استخدامه كمحول انضغاط مغناطيسي فوق صوتي لتوليد الأمواج فوق الصوتية. تم تحديد سرعة وتردد الأمواج كما يلي [28-26]:

تتولد الأمواج فوق الصوتية بسرعة تتعلق بالخصائص الفيزيائية للمركب المحضر، وتحسب من العلاقة: $v = \sqrt{(E/\rho)}$

حيث أن ρ تمثل كثافة العينة واحدتها $kg.m^{-3}$ ، أما E تمثل معامل يونغ للمرونة واحدتها R. يتعلق تردد الأمواج فوق الصوتية R بالإضافة إلى الخصائص الفيزيائية للمركب، بطول الموجة R، وتحسب من العلاقة:

journal.tishreen.edu.sy Print ISSN: 2079-3057, Online ISSN: 2663-4252

$$f_n = \frac{v}{\lambda} \tag{17}$$

m. حيث أن v تمثل سرعة الأمواج فوق الصوتية واحدتها m. s^{-1} أما λ تمثل طول الموجة واحدتها

يرتبط طول الموجة λ بطول العينة L، وبطريقة تثبيتها، فعند تثبيت العينة من منتصفها عندئذ:

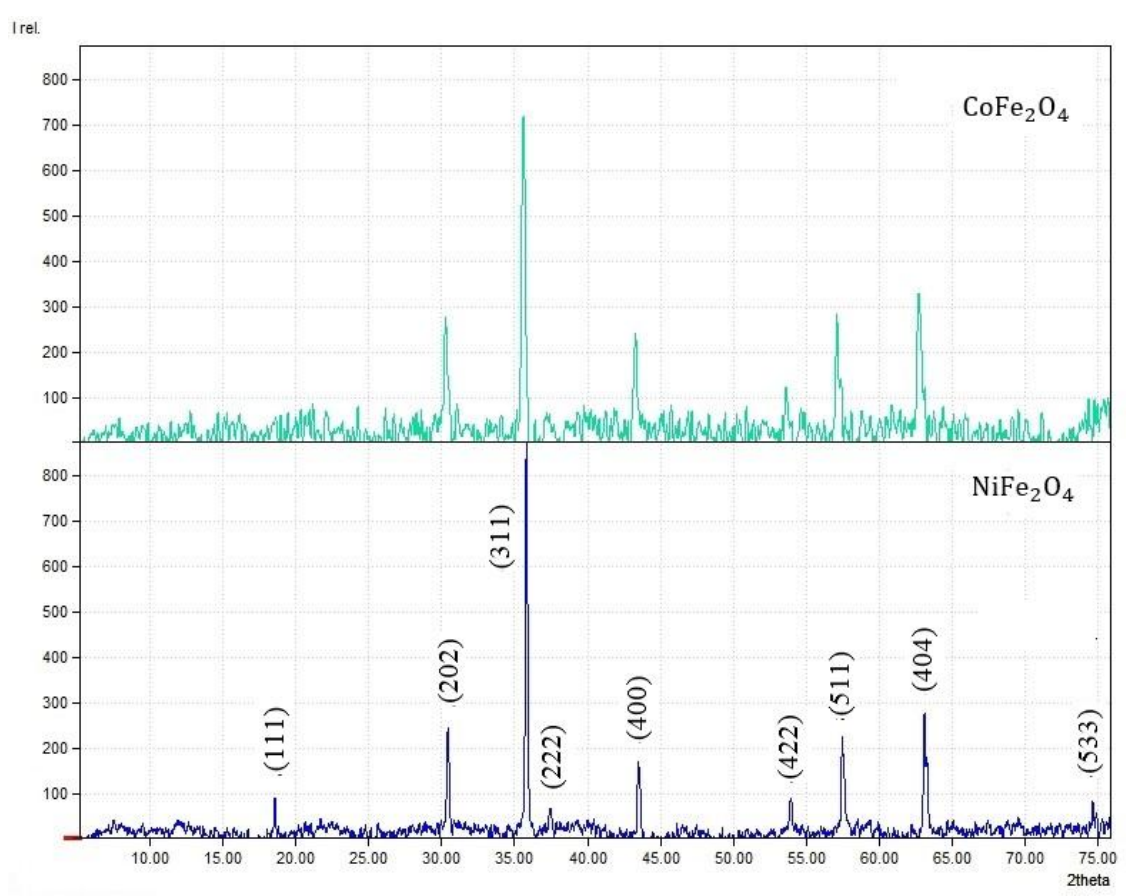
$$L = \frac{\lambda}{2} \tag{18}$$

تصبح علاقة التردد كما يلي:

$$f_n = \frac{\mathbf{v}}{2L} \tag{19}$$

النتائج والمناقشة:

يبين الشكل (5) طيف انعراج الاشعة السينية للمركب ${\rm Co_xNi_{1-x}Fe_2O_4}$ عند النسب (8.0, 1.0) عند والذي يُظهر عند قيم ${\rm Ze}$ مجموعة من القمم peaks بشدات مختلفة، والتي تعطي معلومات دقيقة عن قرائن ميلر (hkl) للمستويات البلورية المتشكلة.



. $(x=0.0,\ 1.0)$ عند النسب الشعة السينية للمركب ${\rm Co_xNi_{1-x}Fe_2O_4}$ عند النسب الشعة السينية المركب

بالمطابقة مع البطاقة JCCD ذات الأرقام 1086–22، 4927-89 [17]، والبطاقتين 1006-591-69، 316-651-69، 016-65، 026، (222)، من بيانات برنامج 118، (202)، (311)، (202)، (311)، (202)، (404)، (511)، (511)، (533)، وهي المستويات المميزة للفرايت. ظهور المستوي البلوري (311) دليل على تشكل بنية السبنيل المكعب [18،15]، ويمتاز هذا المستوي بالبيانات المبينة في الجدول (2)، الذي يبين تغيرات كل من الزاوية

وفق النسب ${\rm Co_xNi_{1-x}Fe_2O_4}$ وعرض القمة عند منتصف الشدة ${\rm FWHM}$ ، والبعد البلوري d والبعد البلوري ${\rm Co_xNi_{1-x}Fe_2O_4}$ بتغير قيم ${\rm Co_xNi_{1-x}Fe_2O_4}$

x=(0.0,1.0) ببين تغيرات الزاوية heta0، عرض القمة FWHM، والمستوى (311) للمركب بتغير النسب (311) للمركب بتغير النسب (2heta1.

X	composition	$2\theta(\deg)$	FWHM	$d_{(311)}(ext{Å})$	(hkl)
0.0	NiFe ₂ O ₄	35.71	0.201	2.5122	(311)
1.0	CoFe ₂ O ₄	35.37	0.200	2.5378	(311)

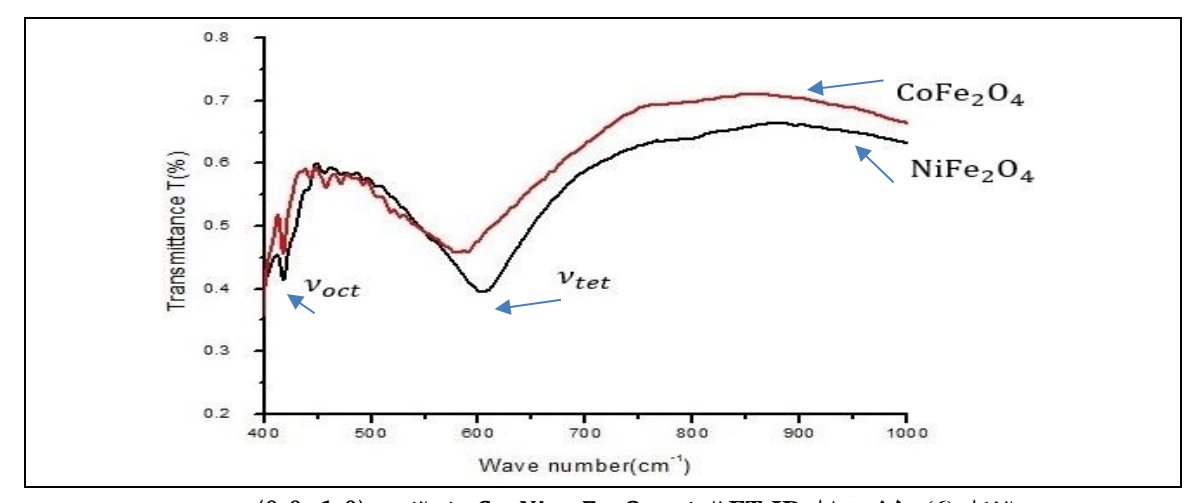
نلاحظ أن موقع القمة المميزة للمستوي البلوري (311) في المركب ${\rm Co_xNi_{1-x}Fe_2O_4}$ عند النسبة ${\rm co_xNi_{1-x}Fe_2O_4}$ اليسار ، ويرافقه تناقص في قيمة كل من ${\rm co}$ 0 وعرض القمة عند منتصف الشدة ${\rm FWHM}$ ، وزيادة قيمة ${\rm co}$ 1 باستخدام العلاقات (1)، (2) ، (3) ، وبيانات الجدول (2)، تم حساب كل من متوسط ابعاد الحبيبة ${\rm co}$ 2 ، ثابت الشبكة البلورية ${\rm co}$ 3 حجم الخلية ${\rm co}$ 4 والكثافة ${\rm co}$ 5 للمركب ${\rm co}$ 5 عند النسب ${\rm co}$ 8 عند النسب ${\rm co}$ 9 عند النبية في المجدول (2).

الجدول (3): يبين نتائج متوسط ابعاد الحبيبة، ثابت الشبكة البلورية، حجم الخلية، والكثافة للمركب عند النسب (X=(0.0, 1.0)

X	composition	D(nm)	a(Å)	$V_{cell}(\mathring{A}^3)$	$\rho(g.cm^{-3})$
0.0	$NiFe_2O_4$	41.52	8.332	578.42	5.3822
1.0	CoFe ₂ O ₄	41.69	8.416	596.28	5.2257

x= نلاحظ من الجدول (3) أن متوسط ابعاد الحبيبة البلورية D للمركب $D_{\rm x}$ عند النسب $D_{\rm x}$ عند النسبة $D_{\rm x}$ البلورية $D_{\rm x}$ نلاحظ زيادة قيم كل من متوسط حجم الحبيبة $D_{\rm x}$ ثابت الشبكة البلورية $D_{\rm x}$ من مرتبة $D_{\rm x}$ عند النسبة $D_{\rm x}$ نلاحظ زيادة قيم كل من متوسط حجم الحبيبة $D_{\rm x}$ ثابت الشبكة البلورية $D_{\rm x}$ النتائج مطابقة بشكل جيد لنتائج العديد من الدراسات لعينات حُضِرت بطرق $D_{\rm x}$ مختلفة $D_{\rm x}$ ونقصان الكثافة $D_{\rm x}$ النتائج مطابقة بشكل جيد لنتائج العديد من الدراسات لعينات حُضِرت بطرق $D_{\rm x}$ مختلفة $D_{\rm x}$ الشكل (6) طيف الاشعة تحت الحمراء $D_{\rm x}$ المركب $D_{\rm x}$ المركب $D_{\rm x}$ عند النسب $D_{\rm x}$ المركب $D_{\rm x}$ المتصاصية (8) والذي يمثل تغيرات الامتصاصية (8) Transmittance $D_{\rm x}$

 $v_{oct}(cm^{-1})$ وثمانية السطوح $v_{tet}(cm^{-1})$ يعطي معلومات دقيقة عن العدد الموجي لاهتزاز المواقع رباعية السطوح



الشكل (6): طيف تحليل FT-IR للمركب FT-IR للمركب Co_xNi_{1-x}Fe₂O₄ عند النسب

يظهر طيف الاشعة تحت الحمراء FT-IR للغرايت ذو بنية السبنيل حزمتي امتصاص في المجال FT-IR للغرايت ذو بنية السبنيل حزمتي امتصاص في المجال T-1000)، تشير إلى العدد الموجي لاهتزاز المواقع T-1000 رباعية السطوح، والمواقع T-1000 ثمانية السطوح [15].

يبين الجدول (4) العدد الموجي لاهتزاز المواقع A رباعية السطوح ν_{tet} ، والمواقع B ثماني السطوح ν_{oct} للمركب المُحضر ν_{oct} عند النسب (0.0, 1.0) ν_{oct} .

الجدول (4): يبين العدد الموجى لاهتزاز المواقع الرباعية والثمانية السطوح للمركب عند النسب (x= (0.0, 1.0)

X	composition	$v_{tet}(cm^{-1})$	$v_{oct}(cm^{-1})$
0.0	$NiFe_2O_4$	601.682	418.477
1.0	CoFe ₂ O ₄	590.111	418.477

نلاحظ أن العدد الموجي لاهتزاز المواقع الرباعية ν_{tet} هي أعلى من العدد الموجي لاهتزاز المواقع الثمانية ν_{oct} في المركب $\kappa_{co} = \kappa_{co} = \kappa_{co} = \kappa_{co}$ بسبب قصر طول الرابطة في المواقع رباعية السطوح مقارنة بطول الرابطة في المواقع ثمانية السطوح [18-16].

نلاحظ أيضاً أن قيم العدد الموجي لاهتزاز المواقع رباعية السطوح عند النسبة v_{tet} عند النسبة v_{tet} عند النسبة bond أيون الموجي لاهتزاز المواقع رباعية السطوح عند النسبة v_{tet} . v_{tet} . v_{tet} يعزى v_{tet} يعزى v_{tet} الرابطة الرابطة معدن – أيون أوكسجين v_{tet} المحور الواصل بين أيون معدن وأيون الأوكسجين في المواقع الرباعية [18-16]. باستخدام العلاقات (4)، (5)، (6)، وبيانات الجدولين (1)، (4)، تم حساب كل من ثابت القوة للموقع رباعي السطوح v_{tet} وثماني السطوح v_{tet} والقيمة الوسطية لثابت قوة الشبكة v_{tet} وحصلنا على النتائج المبينة في الجدول (5).

الجدول (5): ثابت قوة الشبكة للمواقع رباعية السطوح وثمانية السطوح، والقيمة الوسطية لثابت قوة الشبكة.

X	composition	$K_{\text{tet}}(N.m^{-1})$	$K_{oct}(N.m^{-1})$	$(N. m^{-1})K_{av}$
0.0	$NiFe_2O_4$	154.054	106.509	130.2815
1.0	CoFe ₂ O ₄	148.185	106.701	127.4435

نلاحظ من الجدول (5) أن ثابت القوة للموقع رباعي السطوح K_{tet} هي أعلى من ثابت القوة للموقع ثمانية السطوح K_{cot} المركب $Co_{x}Ni_{1-x}Fe_{2}O_{4}$ عند النسب $Co_{x}Ni_{1-x}Fe_{2}O_{4}$ المركب K_{tet} عند النسبة K_{tet} عند النسبة K_{tet} هي أقل من ثابت القوة للمواقع رباعية السطوح K_{tet} والقيمة الوسطية الثابت قوة الشبكة K_{av} عند النسبة K_{av} عند النسبة K_{av} وهذا ما توضحه العلاقتين (4)، (5)، حيث يتناسب ثابت القوة طرداً مع العدد الموجي لاهتزاز الموقع من ناحية أخرى بسبب توزع الكاتيونات وأيضاً لأن K_{co+2} ونصف قطر أيون الكوبالت K_{co+2} الموجي لاهتزاز الموقع من ناحية أخرى بسبب قوزع الكاتيونات وأيضاً لأن K_{co+3} والقوت الكوبالت K_{co+4} الموجي لاهتزاز الموقع من ناحية أخرى بسبب قوزع الكاتيونات وأيضاً الأن K_{co+4} والقوت الكوبالت الموجي الموجي الموجي لاهتزاز الموقع من ناحية أخرى بسبب قوزع الكاتيونات وأيضاً الأن K_{co+4} والموجي الموجود من كل من K_{co+4} ونصف قطر أيون النيكل K_{co+4} والموجود الموجود ألموجود الموجود الموجو

باستخدام العلاقات من (7)، إلى (14)، ونتائج الجدول (5)، ونتائج الدراسة البنيوية تمكنا من تحديد قيم معامل يونغ للمركب (6) المُحضر عند النسب (6) المُحسن ألم المُحسن عند النسب (6) المُحسن ألم المُحسن المُحسن ألم المُحسن ألم المُحسن المُحسن ألم المُحسن المُحسن

الجدول (6): يبين قيم كل من ثابت الصلابة، معامل يونغ الحجمي، سرعة الموجة المربة الطولية والعرضية، معامل الصلابة، نسبة x = (0.0, 1.0) المحضر عند النسب x = (0.0, 1.0) .

X	$B(GPa) = C_{11}(GPa)$	$V_l(m. s^{-1})$	$V_t(m. s^{-1})$	$V_m(m.s^{-1})$	G(GPa)	P	E(GPa)
0.0	156.362	5389.9759	3111.9040	2395.4271	52.1209	0.350	140.726
1.0	151.413	5382.8289	3107.7777	2392.2508	50.4712	0.350	136.272

نلاحظ من الجدول (6) أن قيمة كل من ثابت الصلابة C_{11} ، معامل الانضغاط الحجمي B، سرعة الموجة المرنة الطولية للحظ من الجدول (6) أن قيمة كل من ثابت الصلابة E ومعامل يونغ E للمركب E والعرضية E معامل الصلابة E ومعامل يونغ E للمركب E المركب E عند النسبة E وهذه النتائج مطابقة بشكل جيد لنتائج العديد من الدراسات لعينات خُضِرت بطرق مختلفة [18-18].

نلاحظ أيضاً أن انخفاض قيمة معامل يونغ يؤدي إلى انخفاض سرعة وتردد الأمواج فوق الصوتية المتولدة وهذا ما توضحه العلاقتين (16) و(19).

باستخدام العلاقتين (16) و (19) وبالاعتماد على نتائج الكثافة ρ ، ومعامل يونغ E، تم تحديد سرعة وتردد الأمواج فوق الصوتية المتولدة من مركب الانضغاط المغناطيسي $Co_x Ni_{1-x} Fe_2 O_4$ المحضر بدرجة حرارة تلبيد $Co_x Ni_{1-x} Fe_2 O_4$ السيراميكية عند النسب $Co_x Ni_{1-x} Fe_2 O_4$ ، وذلك من أجل أطوال مختلفة للعينات المحضرة $Co_x Ni_{1-x} Fe_2 O_4$ وذلك من أجل أطوال مختلفة للعينات المحضرة

(7). وحصلنا على النتائج المبينة في الجدول (7).

المحضر بدرجة حرارة $Co_xNi_{1-x}Fe_2O_4$: سرعة وتردد الأمواج فوق الصوتية المتولدة من مركب الانضغاط المغناطيسي $x=(0.0,\,1.0)$ المحضر بدرجة حرارة تلبيد 1200° C عند النسب $x=(0.0,\,1.0)$ عند النسب المختلفة.

	طول العينة L			L=1mm
X	composition	$v = \sqrt{(E/\rho)} (m. s^{-1})$	F(KHz)	F(MHz)
0.0	NiFe ₂ O ₄	5113.370	25.566	2.556
1.0	CoFe ₂ O ₄	5106.591	25.532	2.553

الاستنتاجات والتوصيات:

- X= سنخدام مُركب الانضغاط المغناطيسي $Co_xNi_{1-x}Fe_2O_4$ المُحضر عند النسب $Co_xNi_{1-x}Fe_2O_4$ المُحضر عند النسب $Co_xNi_{1-x}Fe_2O_4$ وبترددات $Co_xNi_{1-x}Fe_2O_4$ وبترددات $Co_xNi_{1-x}Fe_2O_4$ وبترددات $Co_xNi_{1-x}Fe_2O_4$ والتي تتعلق بكل من الكثافة، معامل يونغ، وطول العينة.
- 2- تعتمد سرعة الأمواج فوق الصوتية المتولدة على كثافة المُركب المُحضر ومعامل يونغ، والتي قد تتغير بتغير طريقة وشروط التحضير ودرجة حرارة التلبيد.
- $v_{\rm NiFe_2O_4} = 5113.370 m. \, s^{-1}$ أعلى من سرعة الأمواج وق الصوتية المتولدة من فرايت النيكل $v_{\rm NiFe_2O_4} = 5113.370 m. \, s^{-1}$ ويعود ذلك إلى أن قيمة معامل يونغ فوق الصوتية المتولدة من فرايت الكوبالت $v_{\rm CoFe_2O_4} = 5106.591 m. \, s^{-1}$ أكبر من قيمة معامل يونغ وكثافة فرايت الكوبالت $v_{\rm CoFe_2O_4}$.
- 4- أظهرت نتائج الدراسة البنيوية تشكل بنية السبينيل المكعب، وأن قيمة كل من متوسط حجم حبيبة D=0 الفرايت الثنيكل أصغر منها في فرايت الكوبالت D=41.52nm a=8.416 Å ،41.69nm
- v_{tet} العدد الموجي المتصاص مميزتين للأماكن الرباعية والثمانية. العدد الموجي K_{oct} وثابت قوة اهتزاز المواقع الرباعية K_{tet} أعلى من V_{oct} وثابت قوة اهتزاز المواقع الرباعية V_{tet}
- 6- يؤثر توزع الأيونات ثنائية التكافؤ وثلاثية التكافؤ بين المواقع الرباعية والثمانية السطوح على كل من الخصائص البنيوية والميكانيكية للمركب المُحضر [17-18]، لذلك نوصي بتحضير مركب الانضغاط المغناطيسي

 ${\rm Co_xNi_{1-x}Fe_2O_4}$ عند نسب جديدة لـ ${\rm X}$ ، ومن ثم دراسة تأثير تغير قيم ${\rm X}$ على كل من الخصائص البنيوية، والميكانيكية، وسرعة وتردد الأمواج فوق الصوتية المتولدة، ومن ثم تلبيد العينات عند درجات حرارة مختلفة ودراسة تأثير درجة حرارة التلبيد على الخصائص الكهربائية والبنيوية والميكانيكية للمركب.

References:

- [1] ZHOUA, H. ZHANG, J. FENGA, P. YU, D. and WU, Z. Design on amplitude prediction model for a giant magnetostrictive ultrasonic transducer. Elsevier, Ultrasonic, In press, pre-proof, China, 2019, Article 106017.
- [2] QINGLI, Q. JIHENG, L. DING, Z. TANG, Z. BAO, X. ZHU, J. and GAO, X. *Magnetostriction of Fe-Ga coatings and their application in ultrasonic guided wave sensing*. AIP Publishing, Journal of Applied Physics, China, Vol. 125, 2019,043901-7.
- [3] INDLA, S. CHELVANE, A. LODH, A. and DAS, D. Enhancement in magnetostrictive *Properties of cobalt ferrite by magnetic field assisted compaction technique*, Elsevier, journal of alloys and compounds, India. 2019, 886-891.
- [4] XUEA, G. ZHANGA, P. LIB, X. HE, Z. WANG, H. LI, Y. RONG, C. ZENG, W. and LI, B. *A review of giant magnetostrictive injector (GMI)*. Elsevier, Sensors and Actuators A, China, Vol. 273, 2018. 159-181.
- [5] YAO, Y. PAN, Y. and LIU, S. *Power Ultrasound and Its Applications: A State of the art Review*. Elsevier, Ultrasonic Sonochemistry, In press, corrected proof, China, 2019, Article 104722.
- [6] KOMAROV, V. A. Generation of Ultrasound in the Bulk of Ferrites by Nonuniform Electromagnetic Field. Russian Journal of Nondestructive Testing, Russia, Vol. 36, 2000, 51-60.
- [7] TAWFIK, A. HEMEDA, O. M. and EL-BIALY, T. H. Composite Polymers Transducers for Ultrasonic and Biological Applications. Taylor & Francis, Ferroelectric Letters, Egypt, Vol. 30, 2003, 1-12.
- [8] SARNATSKI, V. *Ultrasonic transducers on base of thin plates and powder of ferrites.* Elsevier, Sensors and Actuators A: physics, Russia, Vol. 116, 2004, 272–276.
- [9] KIM, Y. Y. and KWON, Y. E. Review of magnetostrictive patch transducers and applications in ultrasonic nondestructive testing of waveguides. Elsevier, Ultrasonic, Korea, Vol. 62, 2015, 3-19.
- [10] LI, P. LIU, Q. LI, S. WANG, Q. ZHANG, D. LI, Y. Design and Numerical Simulation of Novel Giant Magnetostrictive Ultrasonic Transducer. Elsevier, Results in Physics, China, Vol. 7, 2017, 3946-3954.
- [11] Fritsch, D. First-principles calculation of magnetoelastic coefficients and magnetostriction in the spinel Ferrites CoFe2O4 and NiFe2O4. Physical Review B, UK, Vol. 86, 2012, 0144061-10.
- [12] AUBERT, A. LOYAU, V. PASCAL, Y. MAZALEYRAT, F. and LOBUE, M. *Dynamic Magnetostriction of CoFe2O4 and Its Role in Magnetoelectric Composites*. physical review applied, France, Vol. 9, 2018, 0440351-12.
- [13] WANG, J. GAO, X. YUAN, C. LI, J. and BAO, X. Magnetostriction Properties of Oriented Polycrystalline CoFe2O4. Elsevier, Journal of Magnetism and Magnetic Material, China, Vol. 401, 2016, 662-666.

- [14] BRITO, V. CUNHA, A. ARAUJO, F. MACHADO, P. SILVA, R. and NUNES, B. *Processing and characterization of a Ni-Co ferrite for sensor applications*. Scientific Electronic Library Online (SCIELO), Ceramic, Brazil, Vol. 61, 2015, 341-349.
- [15] DAS, S. MANOHARAN, C. VENKATESHWARLU, and M. DHAMODHARAN, P. Structural, optical, morphological and magnetic properties of nickel doped cobalt ferrite Nanoparticles synthesized by hydrothermal method. Springer, Journal of Materials Science: Materials in Electronics, India, Vol. 30, 2019, 19880–19893.
- [16] YATTINAHALLI, S. S. KAPATKAR, S. B. and MATHAD, S. N. Structural and Mechanical Properties of a Nano Ferrite. Advanced Science Focus, India, Vol. 2, 2014, 42-46.
- [17] NANDAN, B. BHATNAGAR, C. and KASHYAP, C. Cation distribution in nanocrystalline cobalt substituted nickel ferrites: X-ray diffraction and Raman spectroscopic investigations. Elsevier, Journal of Physics and Chemistry of Solids, India, Vol. 129, 2019, 298-306.
- [18] TORKIAN, S. GHASEMI, A. and RAZAVI, R. S. Cation distribution and magnetic analysis of wideband microwave absorptive CoxNi1-xFe2O4 ferrites. Elsevier, Ceramics International, Iran, Vol. 43, 2017, 6987-6995.
- [19] HOPPE, M. DORING, S. GORGOI, M. CRAMM, S. AND MULLER, M. *Enhanced ferrimagnetism in auxetic NiFe2O4 in the crossover to the ultrathin film limit.* Physical Review B, Germany, Vol. 91, 2014, 1-8.
- [20] MATTIAT, O. E. BELINCOURT, D. KIKUCHI, Y. and MEITZLER, A. H. *Ultrasonic Transducer Materials*. 1st edition, springer, Japan, 1971, 185.
- [21] UDROIU, I. *Ultrasonic drug delivery in Oncology*, JBUON, Italy, Vol. 2, 2015, 381-390. 2015.
- [22] KITTEL, C. *Introduction to solid state physics*, 8th edition, John Wiley & Sons, USA, 2005, 703.
- [23] KASAP, S. O. *Principles of Electronic Materials and Devices*, Fourth Edition, McGraw-Hill Education, Canada, 2018, 978.
- [24] DAPINO, M. J. DENG, Z. CALKINS, F. T. *Magnetostrictive Devices*. Wiley Encyclopedia of Electrical and Electronics Engineering, Wiley & Sons, USA, 2016, 35.
- [25] SUN, W. SUN, J. and XU, K. *Development of Tb-Dy-Fe Detection Transducer*, IOP Publishing, Earth and Environmental Science, China, Vol. 300, 2019, 022001-5.
- [26] BHUGRA, H. and PIAZZA, G. *Piezoelectric MEMS Resonators*, Springer International Publishing, Switzerland, 2017, 423.
- [27] KOHLHAUSER, C. and HELLMICH, C. *Ultrasonic contact pulse transmission for elastic wave velocity and stiffness determination: Influence of specimen geometry and porosity*, Elsevier, Engineering Structures, Austria, Vol. 47, 2013, 115–133.
- [28] PARK, J. LEE, S. YU, I. and SEO, Y. *Inductive detection of magnetostrictive resonance*, Elsevier, Sensors and Actuators A, South Korea, Vol. 140, 2007, 84–88.